

Modelagem Geométrica

SME0271

1

Hermite RBF para Curvas Implícitas

Objetivo

- ▶ Partir de pontos P e normais N
- ▶ Construir uma função implícita cuja a valor vale 0 para cada P e onde o gradiente da função seja igual a N
- ▶ Precisamos de uma RBF(gaussiana, multiquadrática, Wendland etc...) e precisamos calcular o gradiente dela e o Hessian.

$$\text{▶ } \nabla \Psi = \begin{bmatrix} \frac{\partial \Psi}{\partial x_1} & \frac{\partial \Psi}{\partial x_2} \end{bmatrix} \text{ e } H\Psi = \begin{bmatrix} \frac{\partial^2 \Psi}{\partial x_1^2} & \frac{\partial^2 \Psi}{\partial x_1 \partial x_2} \\ \frac{\partial^2 \Psi}{\partial x_1 \partial x_2} & \frac{\partial^2 \Psi}{\partial x_2^2} \end{bmatrix}$$

Métodos

- Implementação em Matlab de HRBF
- Exemplo 2D com Gaussiano e Wendland
- Exemplo 3D com Gaussiano, Wendland, multiquadrática, multiquadrática inversa e spline
- Partição da unidade em 2D e 3D

Formulação em dimensão 2

$$\Rightarrow P = \begin{bmatrix} x1_1 & x2_1 \\ \vdots & \vdots \\ x1_n & x2_n \end{bmatrix}$$

$$\Rightarrow X1 = \begin{bmatrix} x1_1 & \cdots & x1_1 \\ \vdots & \cdots & \vdots \\ x1_n & \cdots & x1_n \end{bmatrix} - \begin{bmatrix} x1_1 & \cdots & x1_1 \\ \vdots & \cdots & \vdots \\ x1_n & \cdots & x1_n \end{bmatrix}^T$$

$$\Rightarrow X2 = \begin{bmatrix} x2_1 & \cdots & x2_1 \\ \vdots & \cdots & \vdots \\ x2_n & \cdots & x2_n \end{bmatrix} - \begin{bmatrix} x2_1 & \cdots & x2_1 \\ \vdots & \cdots & \vdots \\ x2_n & \cdots & x2_n \end{bmatrix}^T$$

$$\Rightarrow X = \sqrt{X1^2 + X2^2}$$

Formulação em dimensão 2

$$\Rightarrow A = \begin{bmatrix} \Psi(X) & -\nabla \Psi(X) \\ \nabla \Psi^T(X) & -\mathbf{H}\Psi(X) \end{bmatrix} = \begin{bmatrix} \Psi(X) & -\frac{\partial \Psi}{\partial x_1}(X) & -\frac{\partial \Psi}{\partial x_2}(X) \\ \left(\frac{\partial \Psi}{\partial x_1}(X)\right)^T & -\frac{\partial^2 \Psi}{\partial x_1^2}(X) & -\frac{\partial^2 \Psi}{\partial x_1 \partial x_2}(X) \\ \left(\frac{\partial \Psi}{\partial x_2}(X)\right)^T & -\left(\frac{\partial^2 \Psi}{\partial x_1 \partial x_2}(X)\right)^T & -\frac{\partial^2 \Psi}{\partial x_2^2}(X) \end{bmatrix}$$

$$\Rightarrow A \begin{bmatrix} \alpha \\ \beta_1 \\ \beta_2 \end{bmatrix} = \begin{bmatrix} 0 \\ N_1 \\ N_2 \end{bmatrix} \text{ com } N = \begin{bmatrix} N_{1_1} & N_{2_1} \\ \vdots & \vdots \\ N_{1_n} & N_{2_n} \end{bmatrix}$$

Formulação em dimensão 2

$$\Rightarrow U = \begin{bmatrix} U1_1 & U2_1 \\ \vdots & \vdots \\ U1_m & U2_m \end{bmatrix}$$

$$\Rightarrow V1 = \begin{bmatrix} x1_1 & \cdots & x1_1 \\ \vdots & \cdots & \vdots \\ x1_n & \cdots & x1_n \end{bmatrix} - \begin{bmatrix} U1_1 & \cdots & U1_1 \\ \vdots & \cdots & \vdots \\ U1_m & \cdots & U1_m \end{bmatrix}^T$$

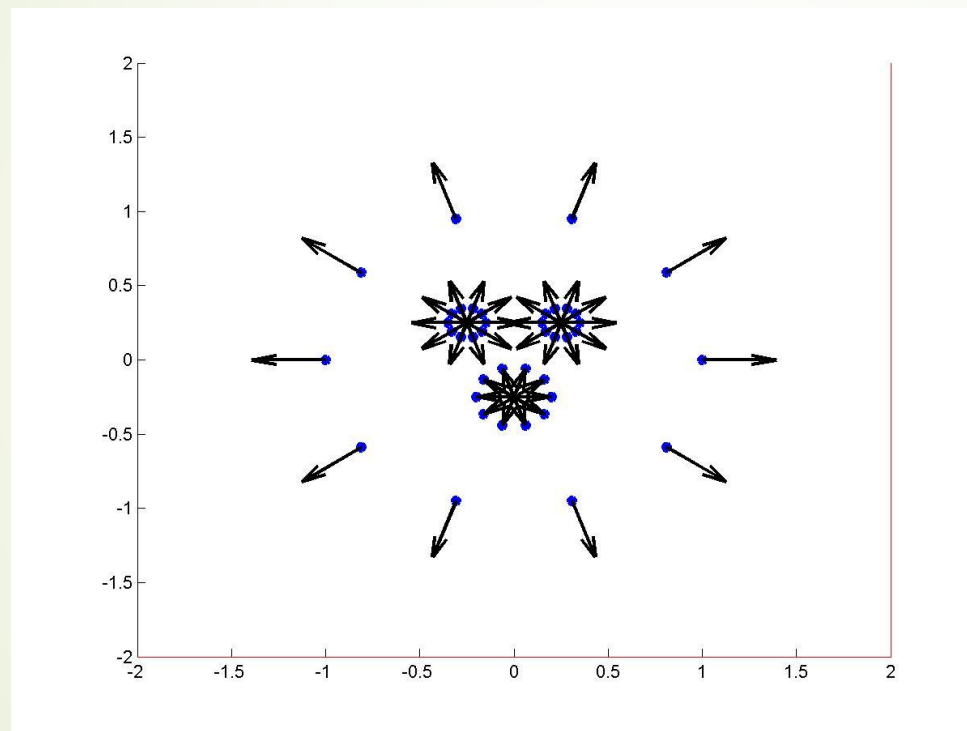
$$\Rightarrow V2 = \begin{bmatrix} x2_1 & \cdots & x2_1 \\ \vdots & \cdots & \vdots \\ x2_n & \cdots & x2_n \end{bmatrix} - \begin{bmatrix} U2_1 & \cdots & U2_1 \\ \vdots & \cdots & \vdots \\ U2_m & \cdots & U2_m \end{bmatrix}^T$$

$$\Rightarrow V = \sqrt{V1^2 + V2^2}$$

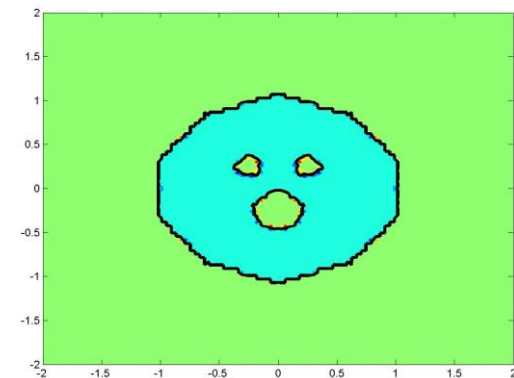
$$\Rightarrow f^*(U) = \Psi(V)\alpha - \langle \beta | \nabla \Psi(V) \rangle$$

Exemplo 2D : gaussiano

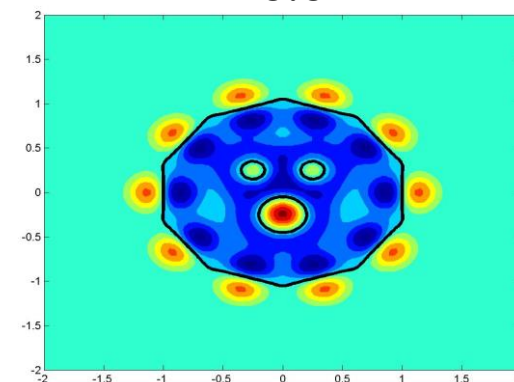
$$\Psi(\mathbf{x}) = \exp\left(x^2/r^2\right)$$



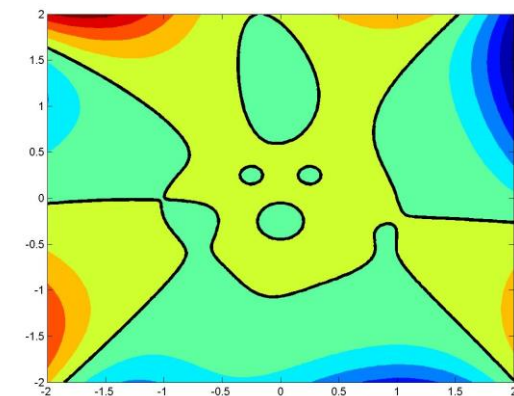
40 pontos



r = 0.02



r = 0.2

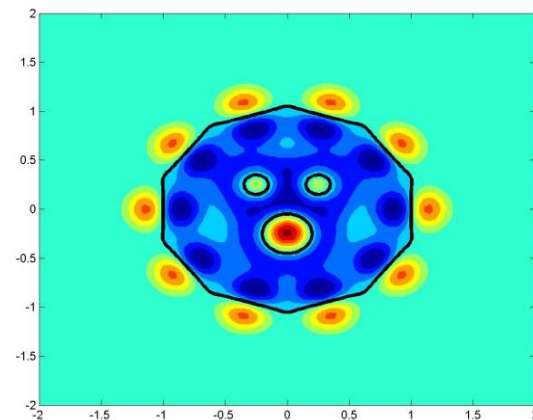
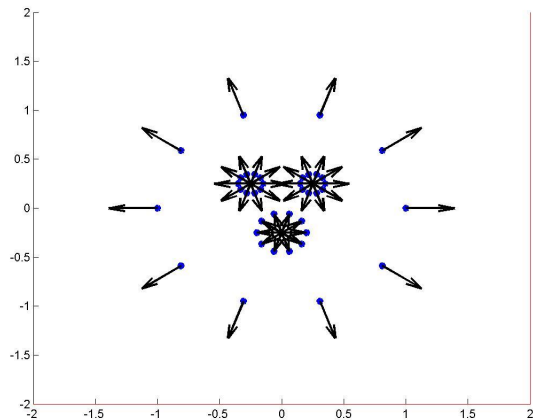


r = 2

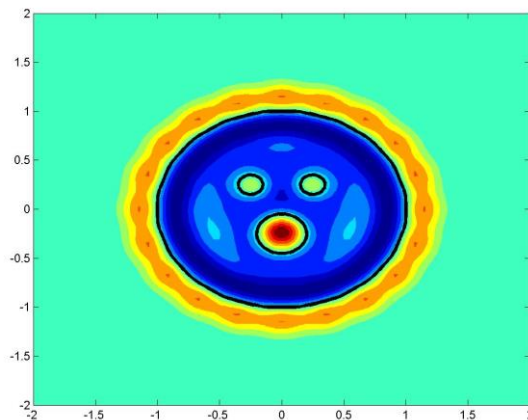
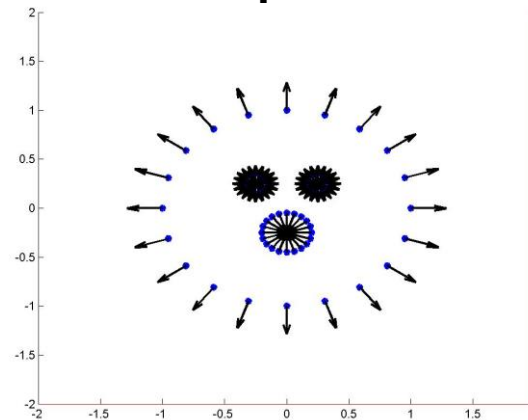
Exemplo 2D : gaussiano

$$\Psi(\mathbf{x}) = \exp(-x^2/r^2) \text{ com } r = 0.2$$

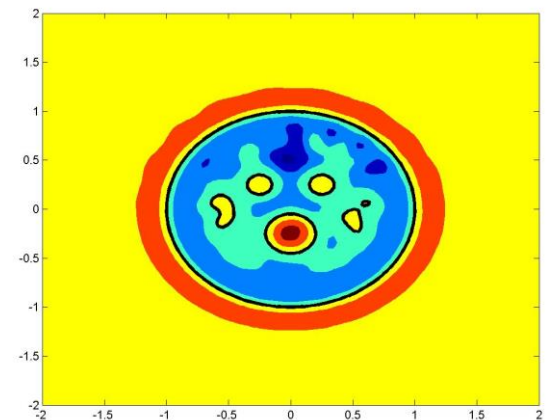
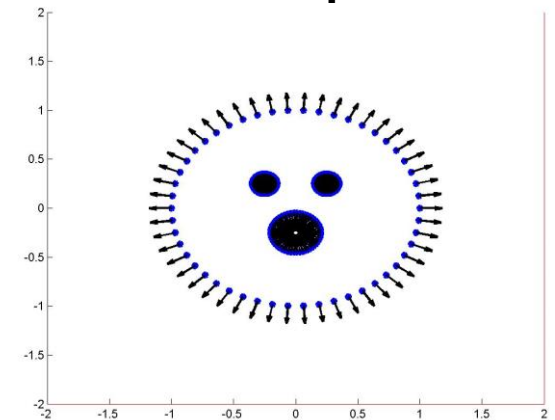
40 pontos



80 pontos



200 pontos



Teoria Polinômio

$$\Rightarrow Poly = \begin{bmatrix} 1 & x1_1 & x2_1 & x1_1 \cdot x2_1 & x1_1^2 & x2_1^2 \\ \vdots & \vdots & \vdots & \vdots & \vdots & \vdots \\ 1 & x1_n & x2_n & x1_n \cdot x2_n & x1_n^2 & x2_n^2 \\ 0 & 1 & 0 & x2_1 & 2 \cdot x1_1 & 0 \\ \vdots & \vdots & \vdots & \vdots & \vdots & \vdots \\ 0 & 1 & 0 & x2_n & 2 \cdot x1_n & 0 \\ 0 & 0 & 1 & x1_1 & 0 & 2 \cdot x2_1 \\ \vdots & \vdots & \vdots & \vdots & \vdots & \vdots \\ 0 & 0 & 1 & x1_n & 0 & 2 \cdot x2_n \end{bmatrix}$$

$$\Rightarrow \begin{bmatrix} A & Poly \\ Poly^T & 0 \end{bmatrix} \begin{bmatrix} \lambda \\ \gamma \end{bmatrix} = \begin{bmatrix} c \\ 0 \end{bmatrix} \text{ com } \lambda = \begin{bmatrix} \alpha \\ \beta1 \\ \beta2 \end{bmatrix} \text{ e } c = \begin{bmatrix} 0 \\ N1 \\ N2 \end{bmatrix}$$

Teoria Polinômio

$$\Rightarrow \gamma = (Poly^T \cdot A^{-1} \cdot Poly)^{-1} \cdot Poly^T \cdot A^{-1} \cdot c$$

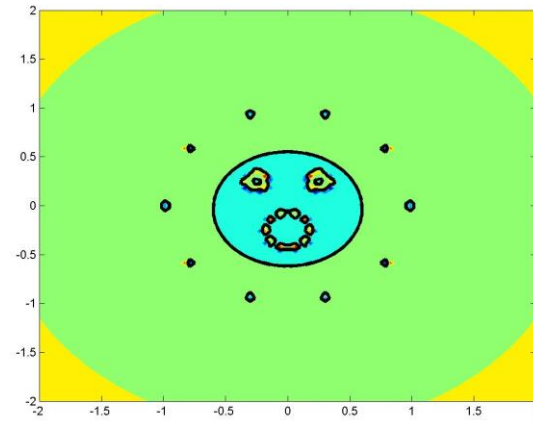
$$\Rightarrow \lambda = A^{-1} \cdot c - (A^{-1} \cdot Poly) \cdot \gamma$$

$$\Rightarrow f^*(U) = \Psi(V)\alpha - \langle \beta | \nabla \Psi(V) \rangle + \begin{bmatrix} 1 & U1_1 & U2_1 & U1_1 \cdot U2_1 & U1_1^2 & U2_1^2 \\ \vdots & \vdots & \vdots & \vdots & \vdots & \vdots \\ 1 & U1_m & U2_m & U1_m \cdot U2_m & U1_m^2 & U2_m^2 \end{bmatrix} [\gamma]$$

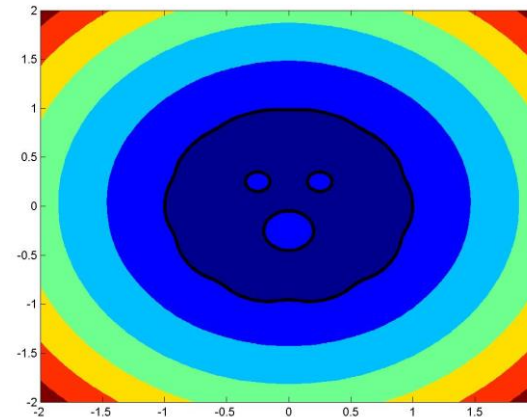
Exemplo 2D : gaussiano

$$\Psi(\mathbf{x}) = \exp\left(x^2/r^2\right)$$

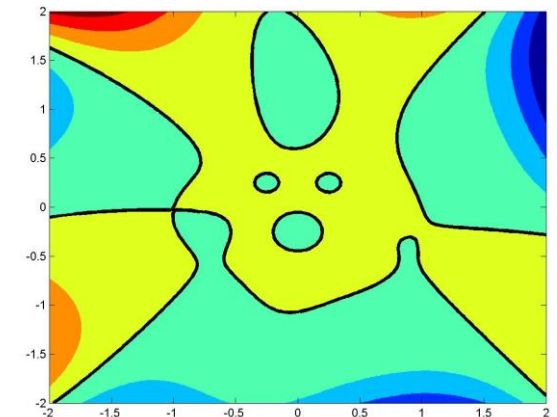
$r = 0.02$



$r = 0.2$

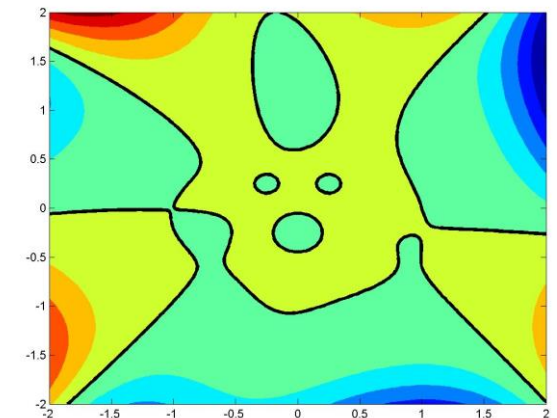
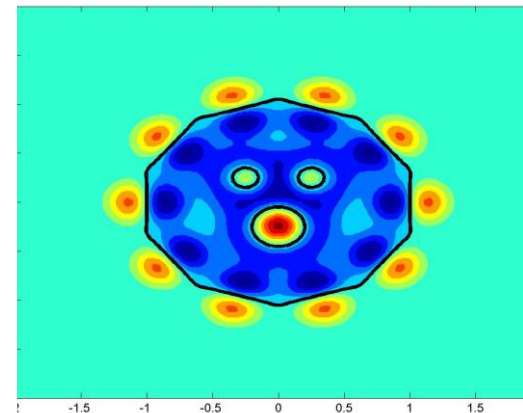
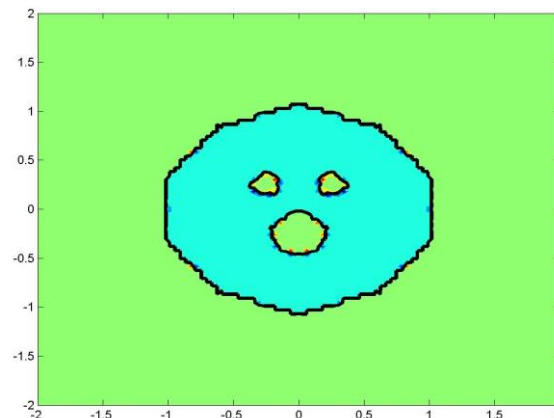


$r = 2$



Com função
polinomial

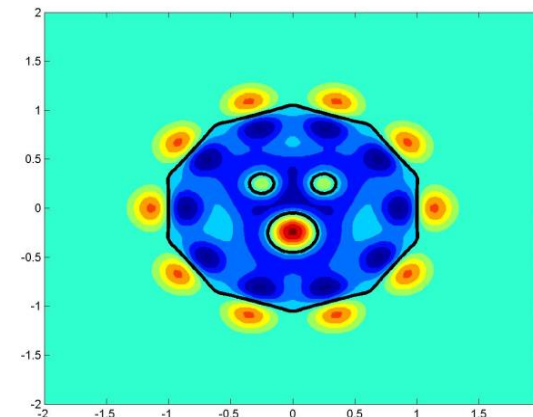
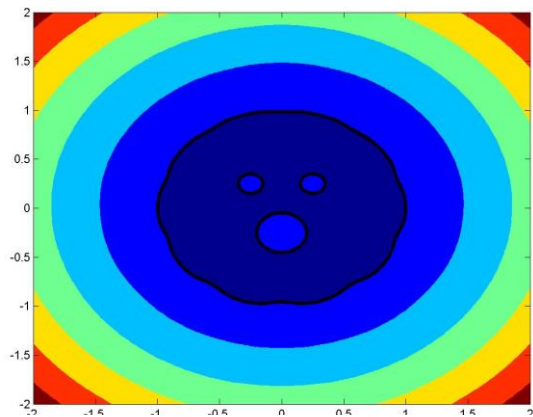
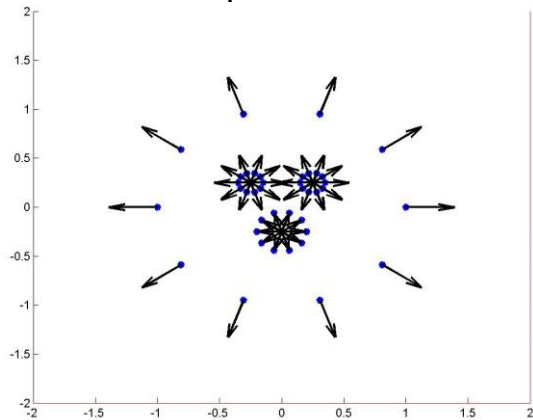
Sem função
polinomial



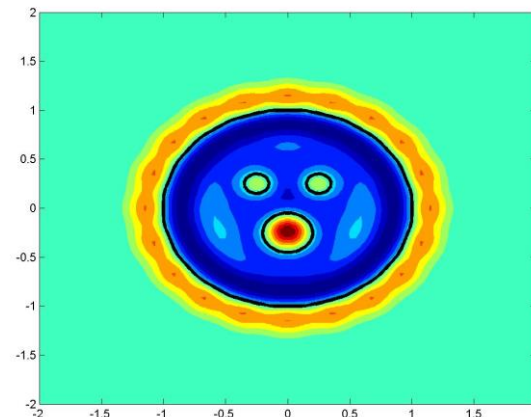
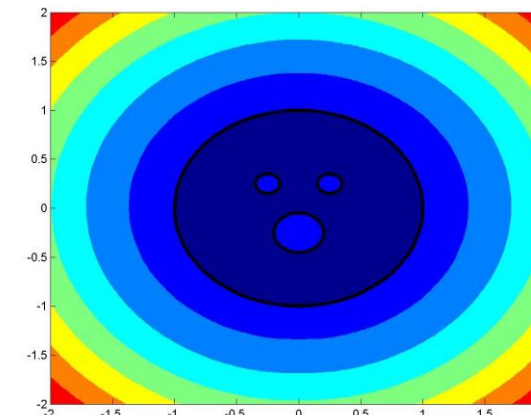
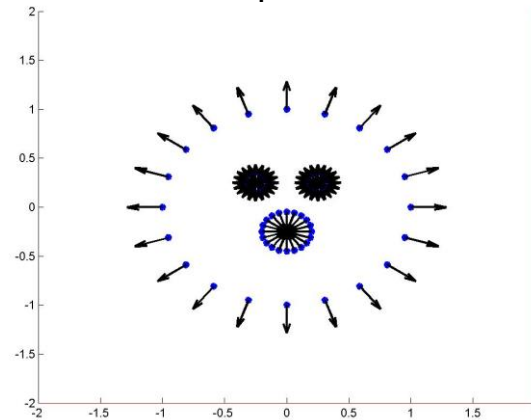
Com função
polinomial
($r = 0.2$)

Sem função
polinomial
($r = 0.2$)

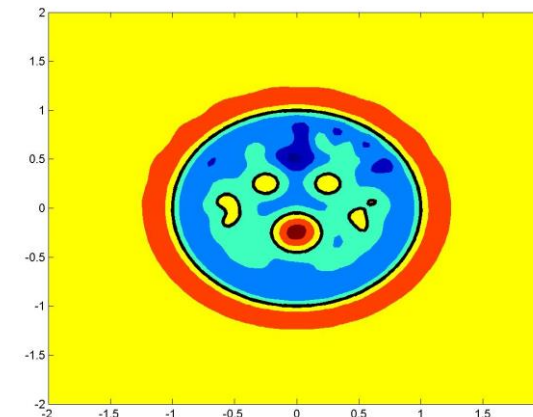
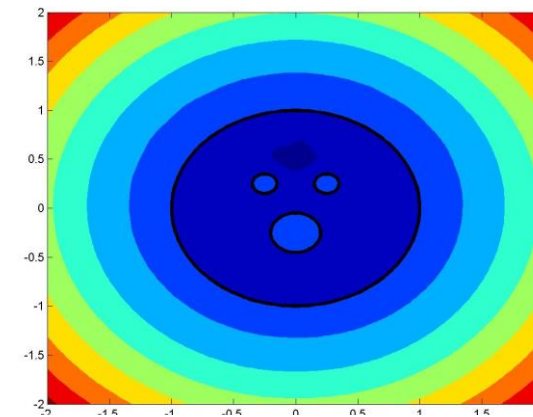
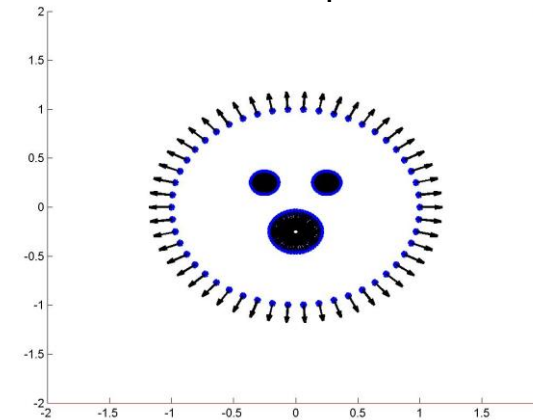
40 pontos



80 pontos



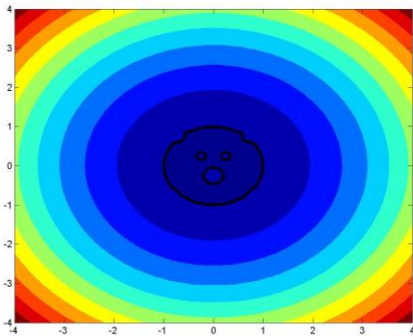
200 pontos



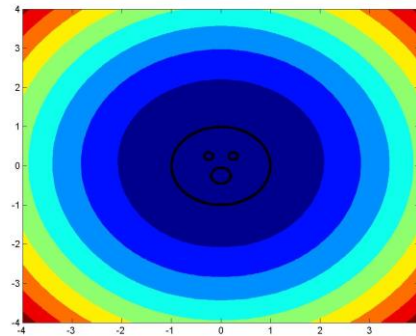
Wendland (80 pontos)

$$\Psi(x) = \begin{cases} \left(1 - \frac{x}{r}\right)^4 \left(4\frac{x}{r} + 1\right) & \text{para } \frac{x}{r} < 1 \\ 0 & \text{senão} \end{cases}$$

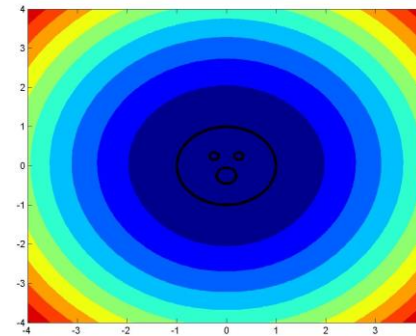
$r = 1$



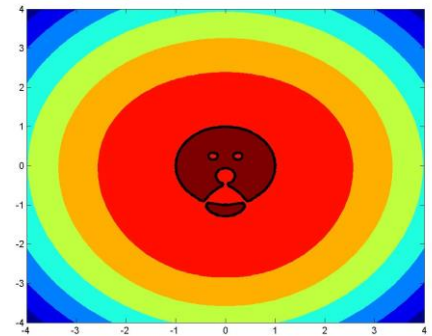
$r = 2$



$r = 5$

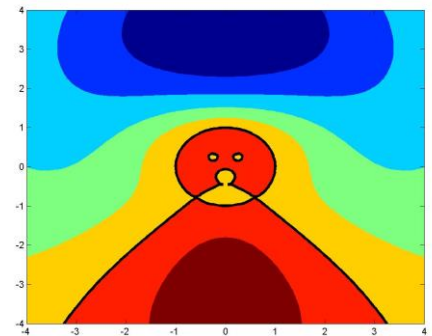
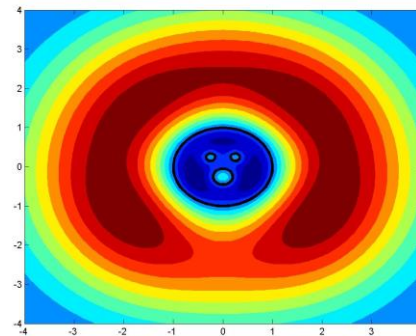
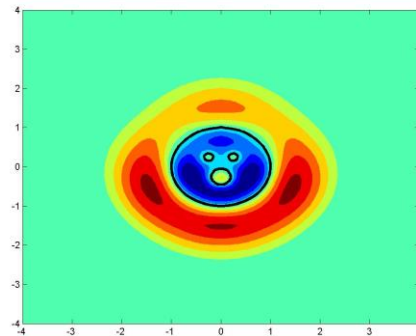
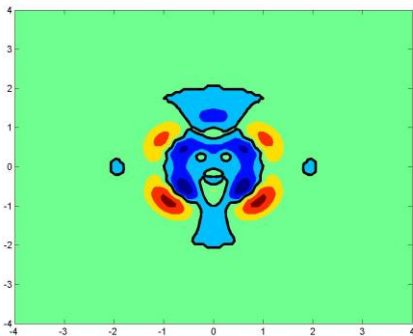


$r = 10$



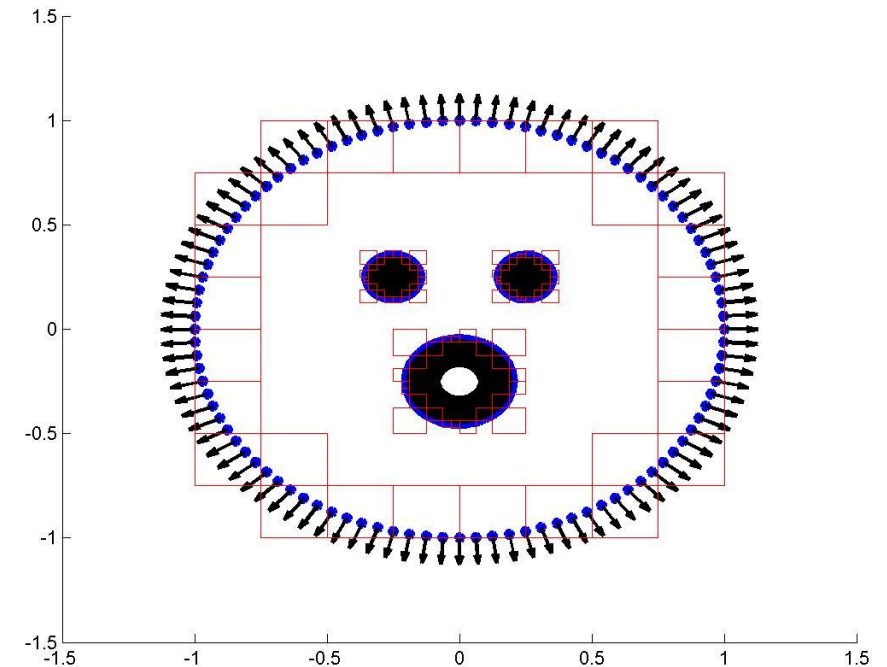
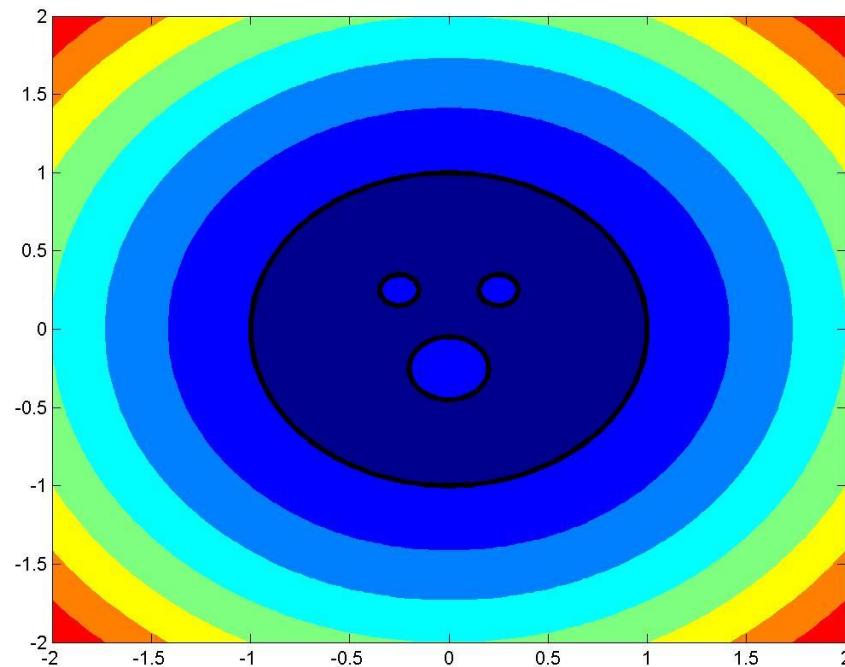
Com função
polinomial

Sem função
polinomial



Gaussiano com subdivisão dos pontos

- $r = 0.2$
- 400 pontos totais
- 5 pontos maximais per retângulo



Wendland 3D esfera

$r = 1.5$

$r = 2$

$r = 4$

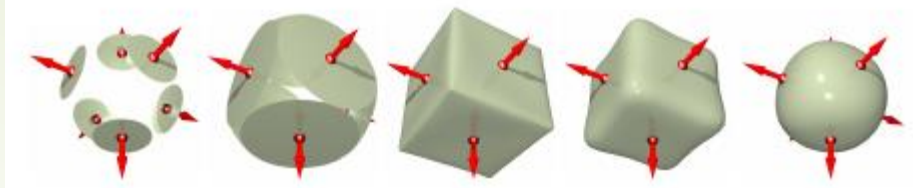
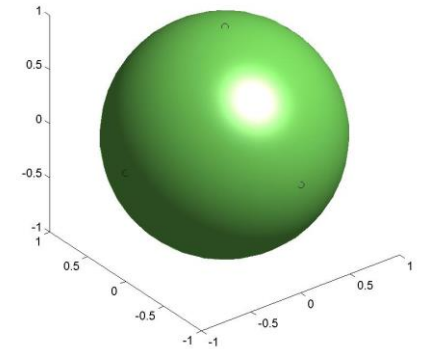
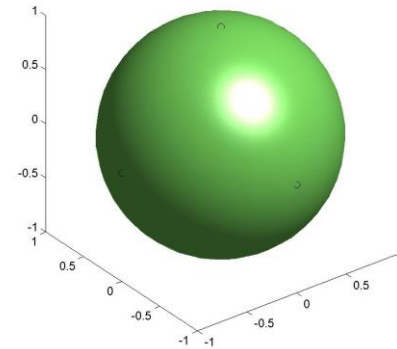
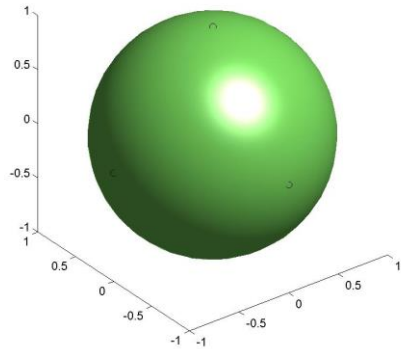
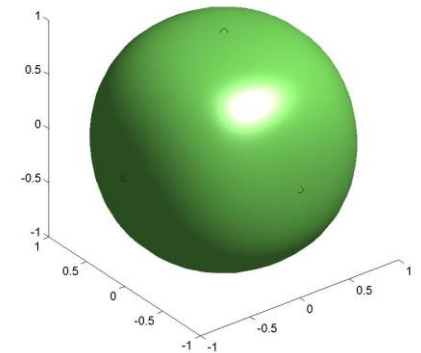
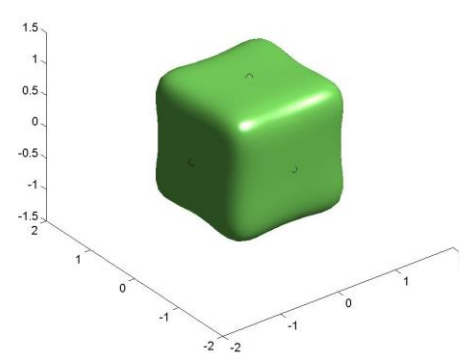
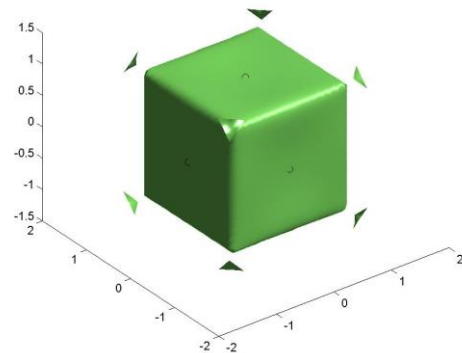


Figure 2: Varying the radius in Ψ_r with no augmentation ($r = 0.5, 1, 1.5, 2$ and 4): six antipodal points on the sphere.

Com função
polinomial

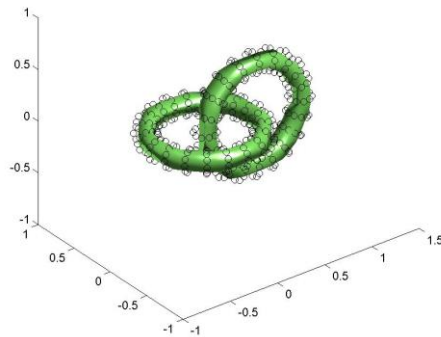


Sem função
polinomial

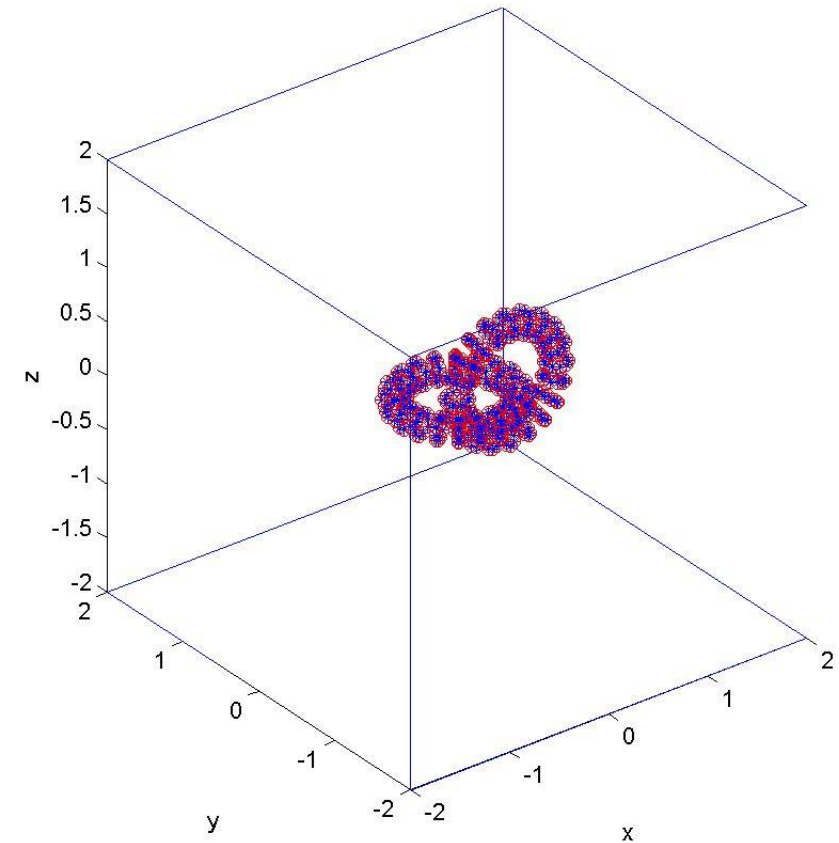
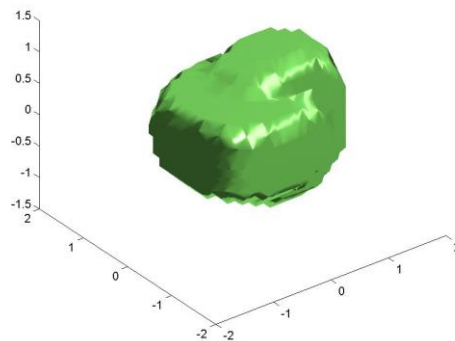


Wendland 3D dois toros (400 pontos totais)

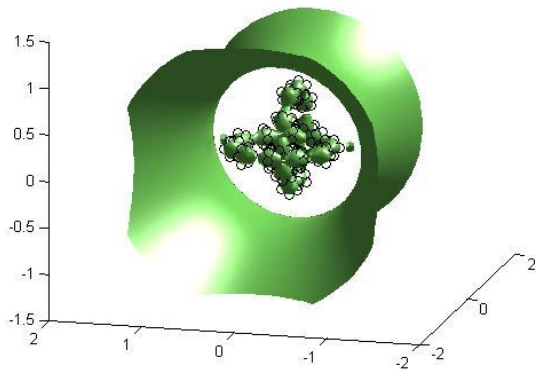
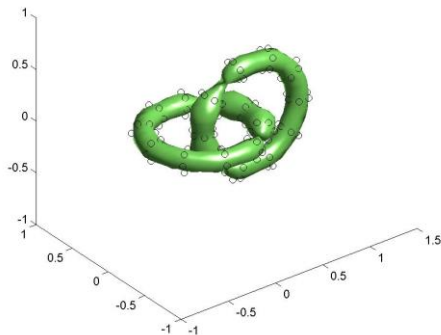
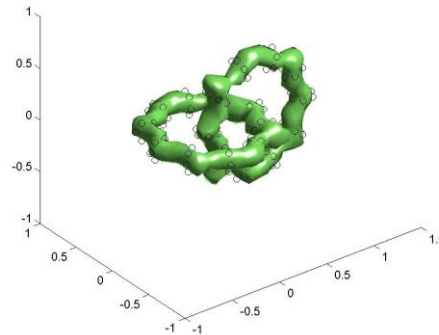
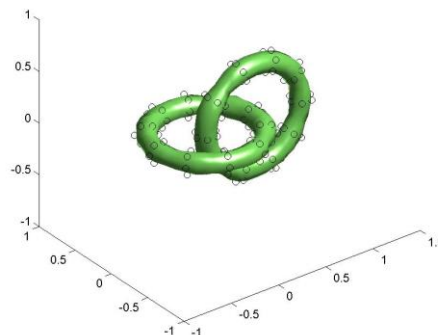
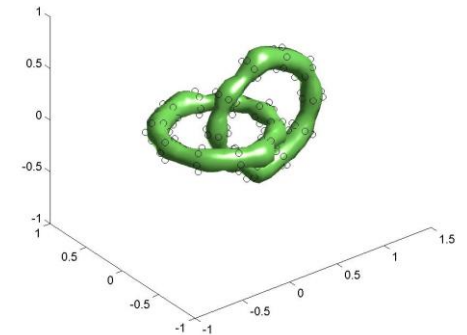
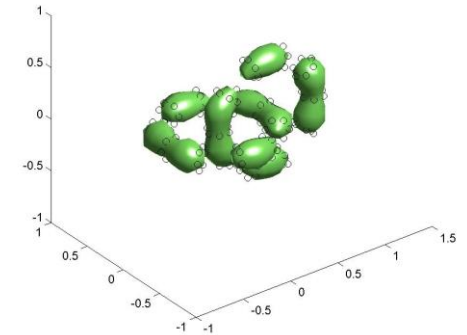
Com função
polinomial
 $r = 0.6$



Sem função
polinomial
 $r = 0.6$

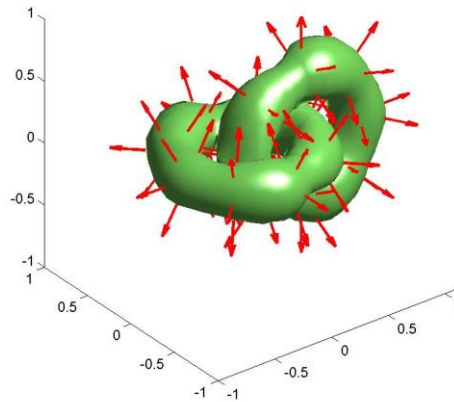


Wendland 3D dois toros (120 pontos totais)

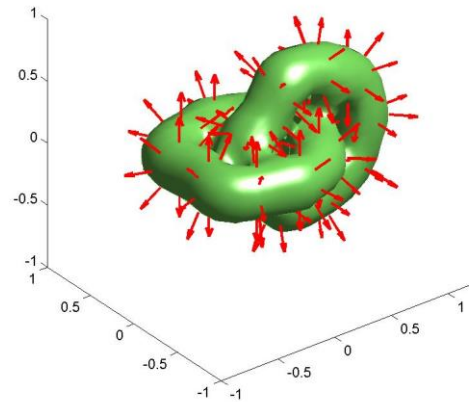
 $r = 0.3$  $r = 1$  $r = 0.4$  $r = 1.2$  $r = 0.6$  $r = 3$ 

Variação do numero de ponto

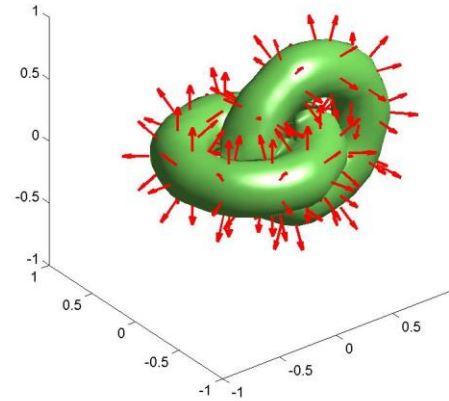
$r = 1.3$ e 96 pontos



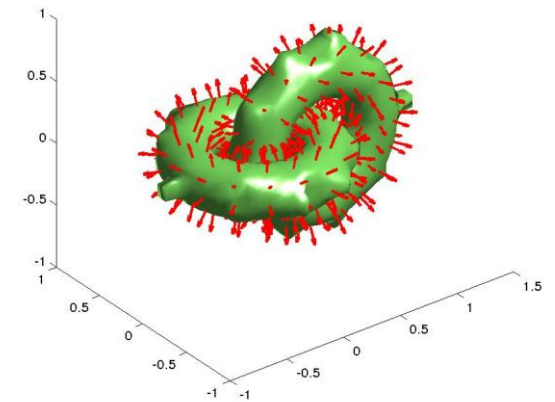
$r = 1.1$ e 144 pontos



$r = 1.1$ e 160 pontos

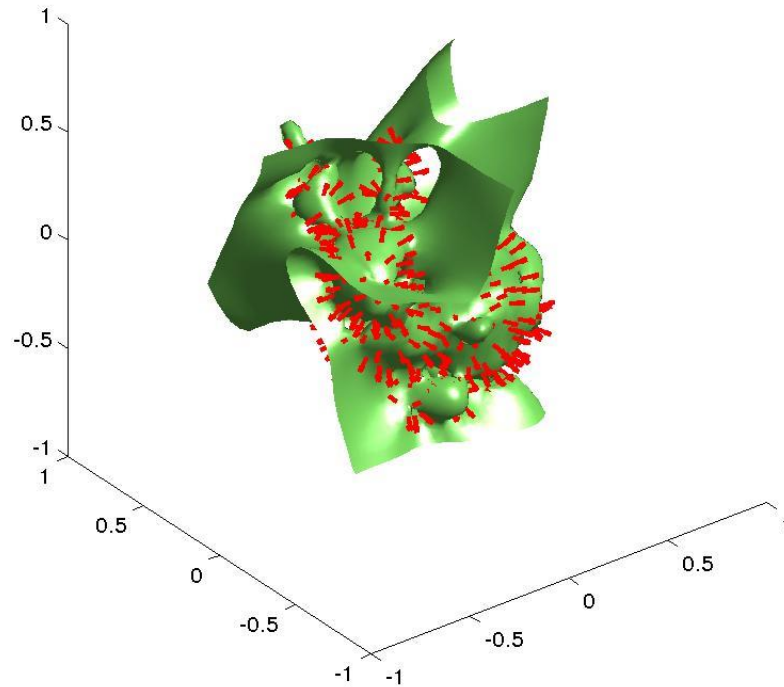


$r = 5.3$ e 360 pontos

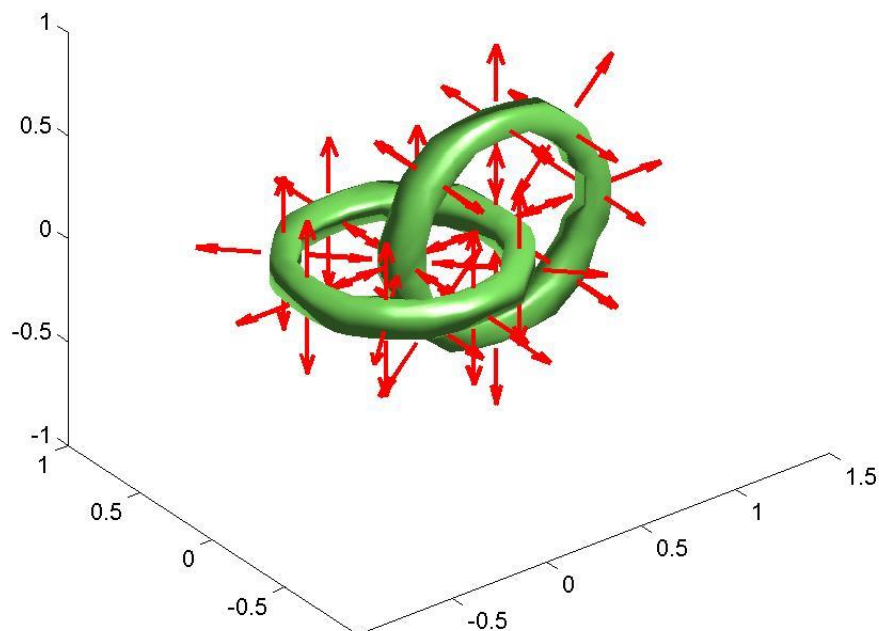


Coelho com Wendland

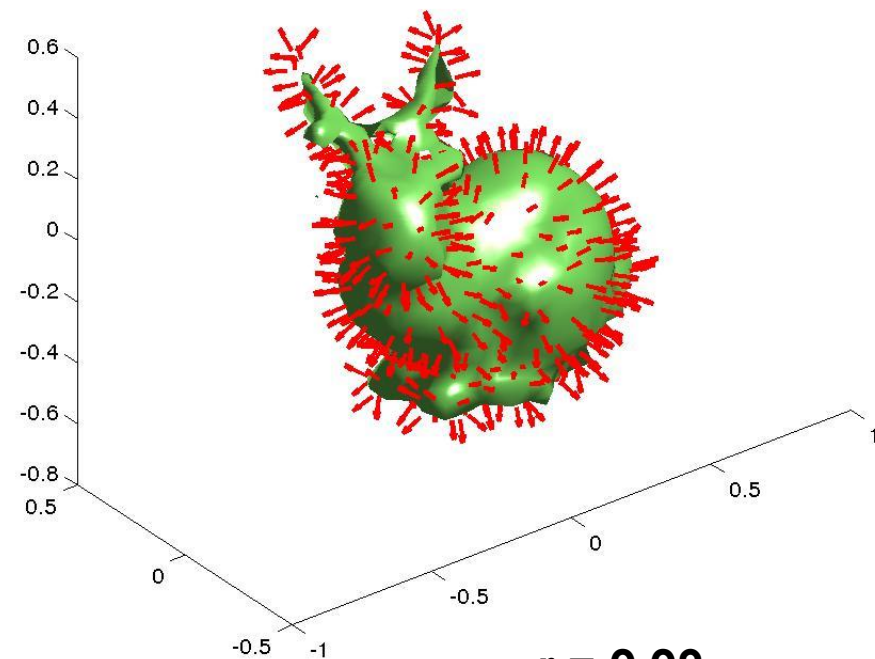
$r = 1$



Coelho com gaussiana



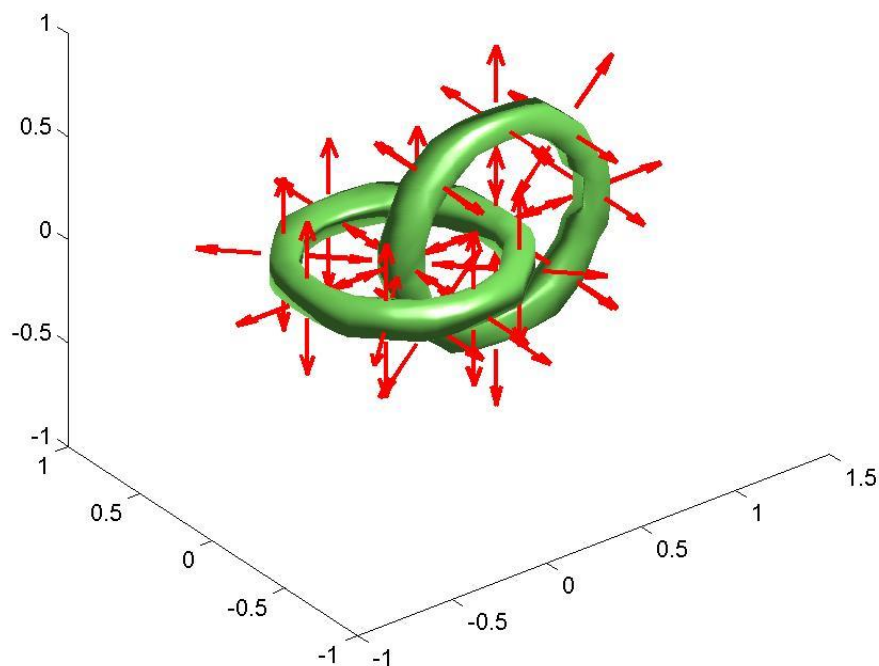
64 pontos e $r = 0.3$



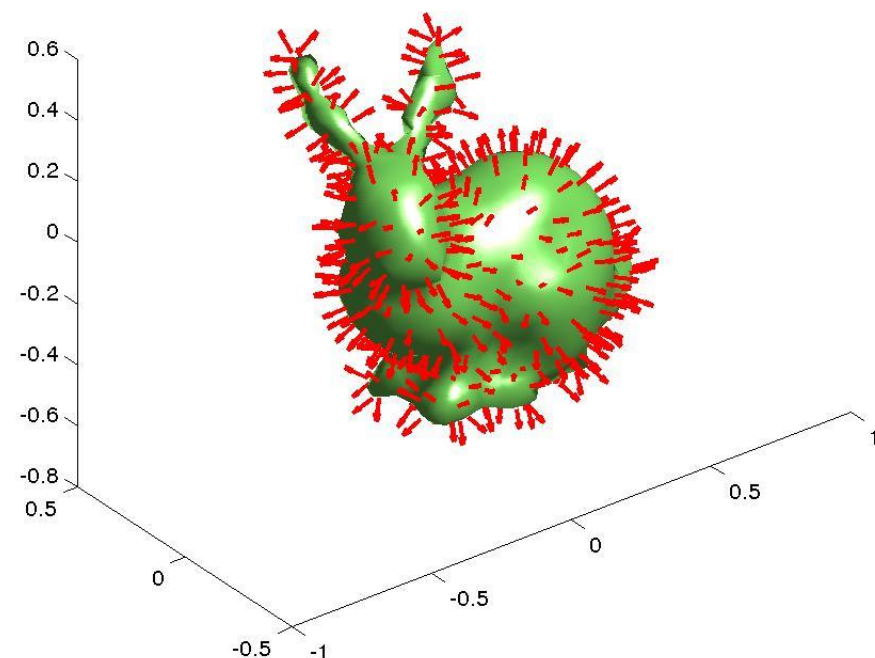
$r = 0.09$

Multiquadrática

$$\Psi(x) = \sqrt{1 + \left(\frac{x}{r}\right)^2}$$



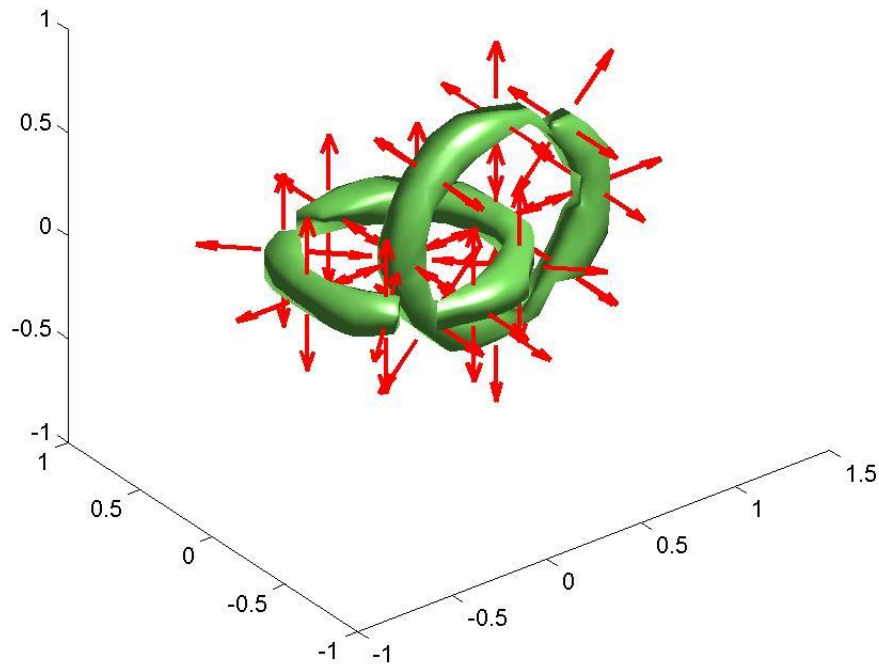
64 pontos e $r = 0.5$



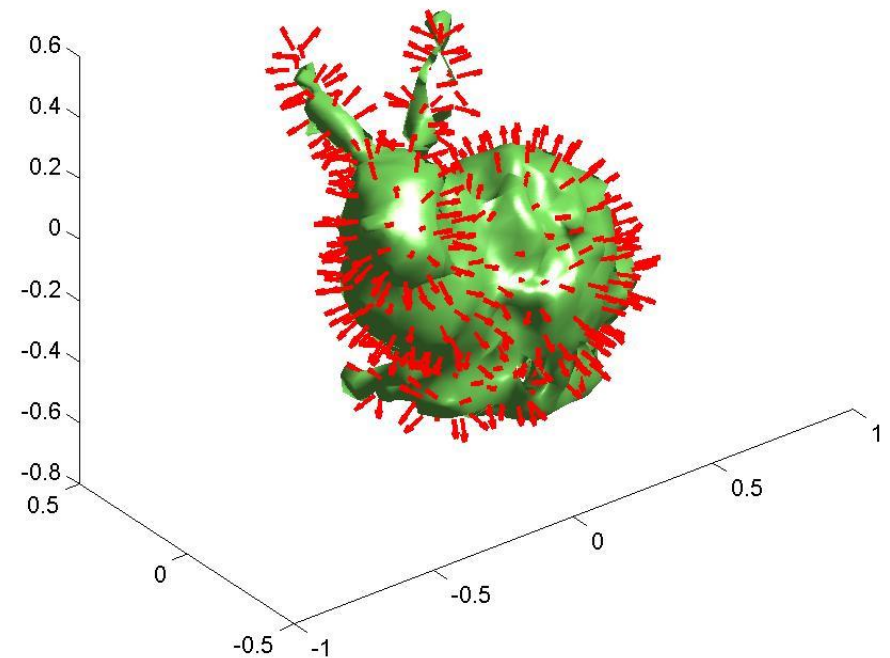
$r = 0.002$

Multiquadrática inversa

$$\Psi(x) = \frac{1}{\sqrt{1 + \left(\frac{x}{r}\right)^2}}$$



64 pontos e $r = 0.7$

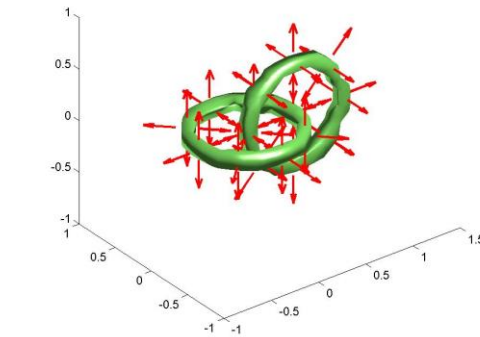


$r = 1.1$

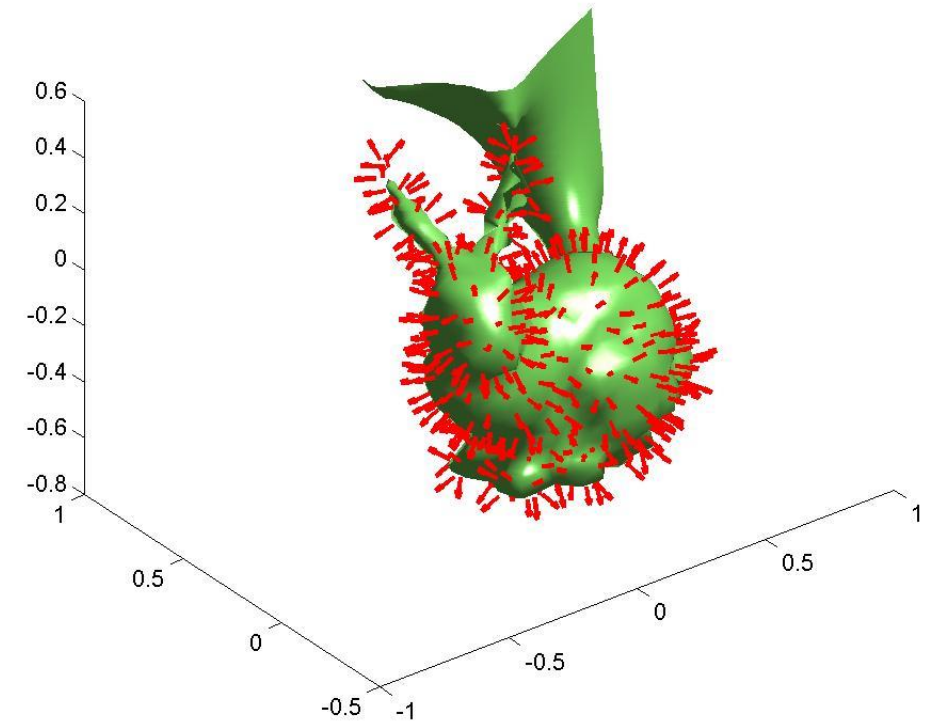
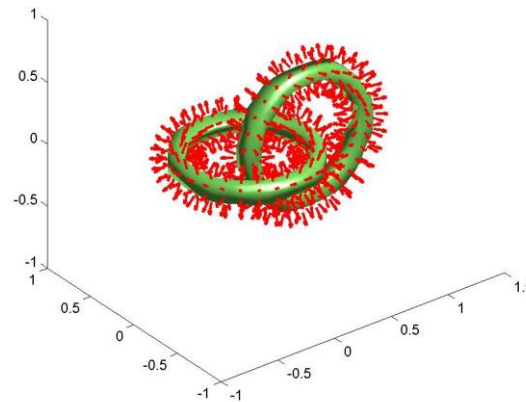
Spline poli-harmônica

$$\Psi(x) = x^4 \ln(x)$$

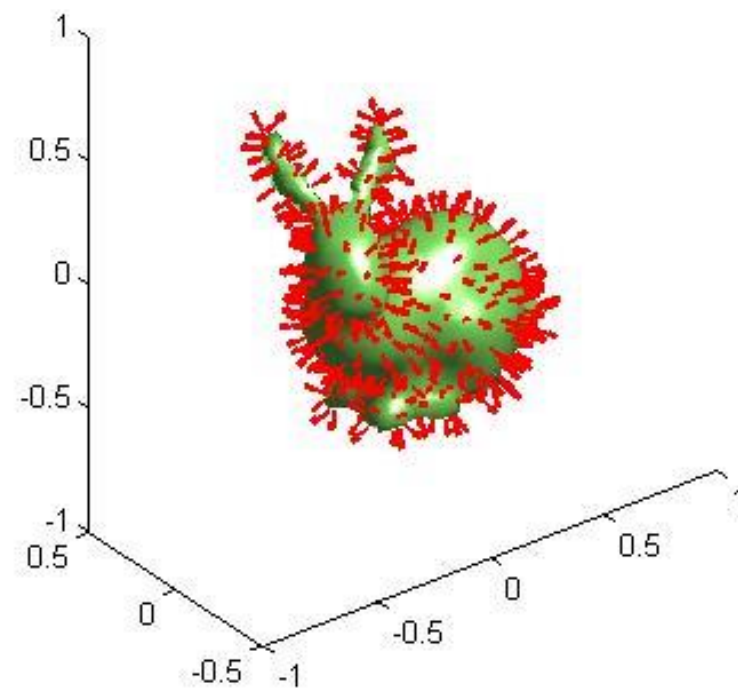
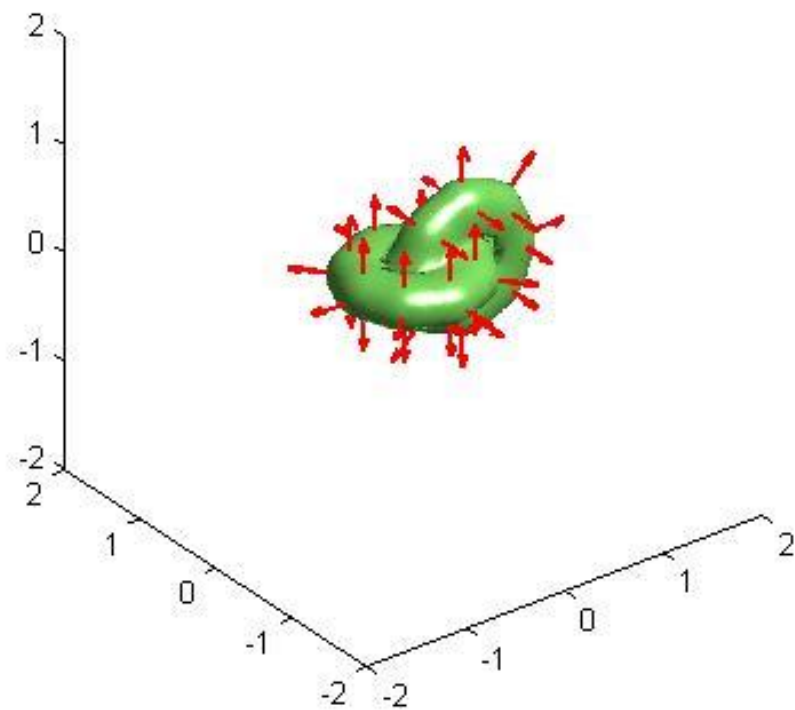
64 pontos



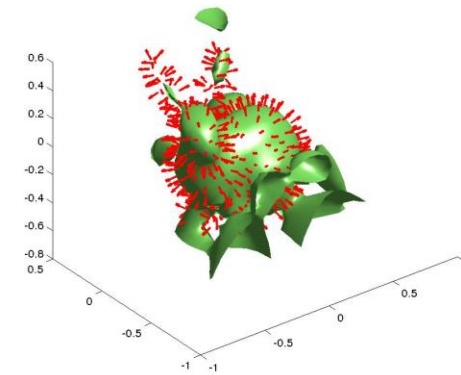
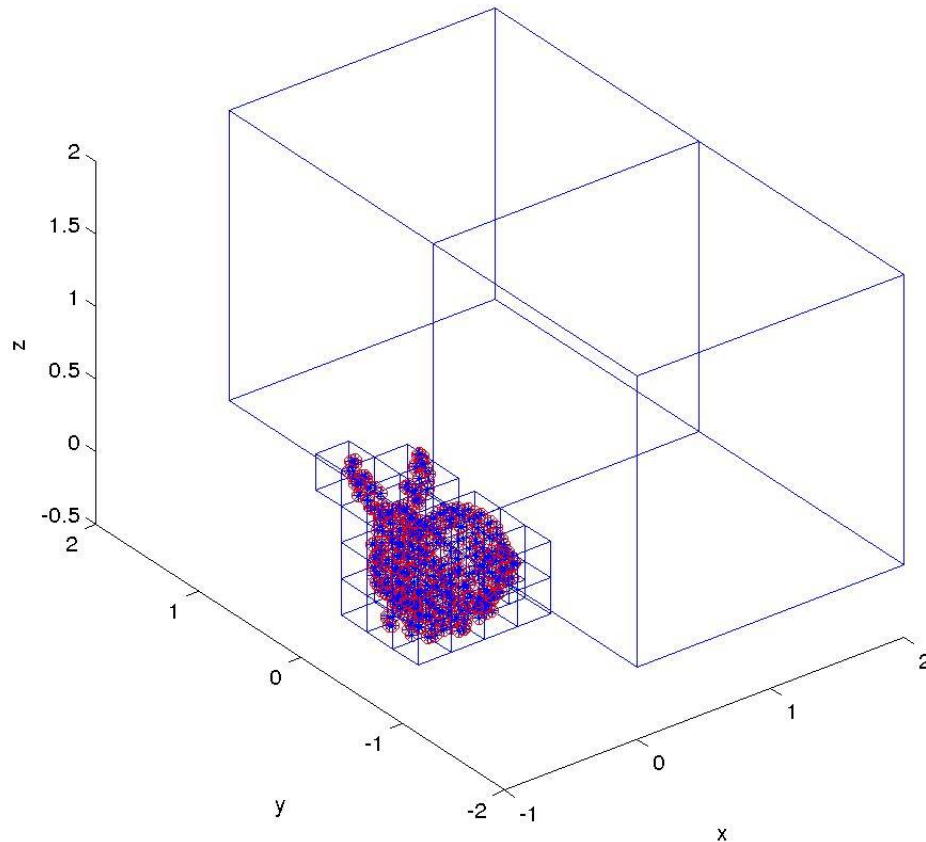
600 pontos



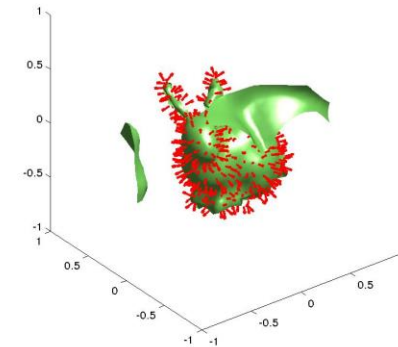
RBF (shift = 0.001)



Divisão em caixa para multiquadrática 20 pontos per caixa, $r = 0.002$

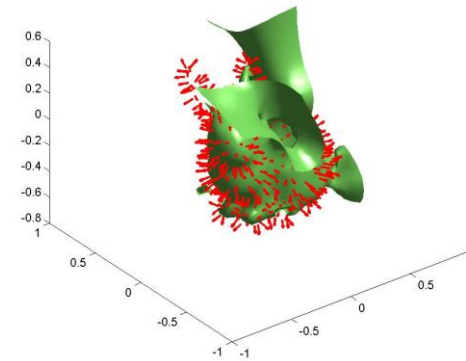
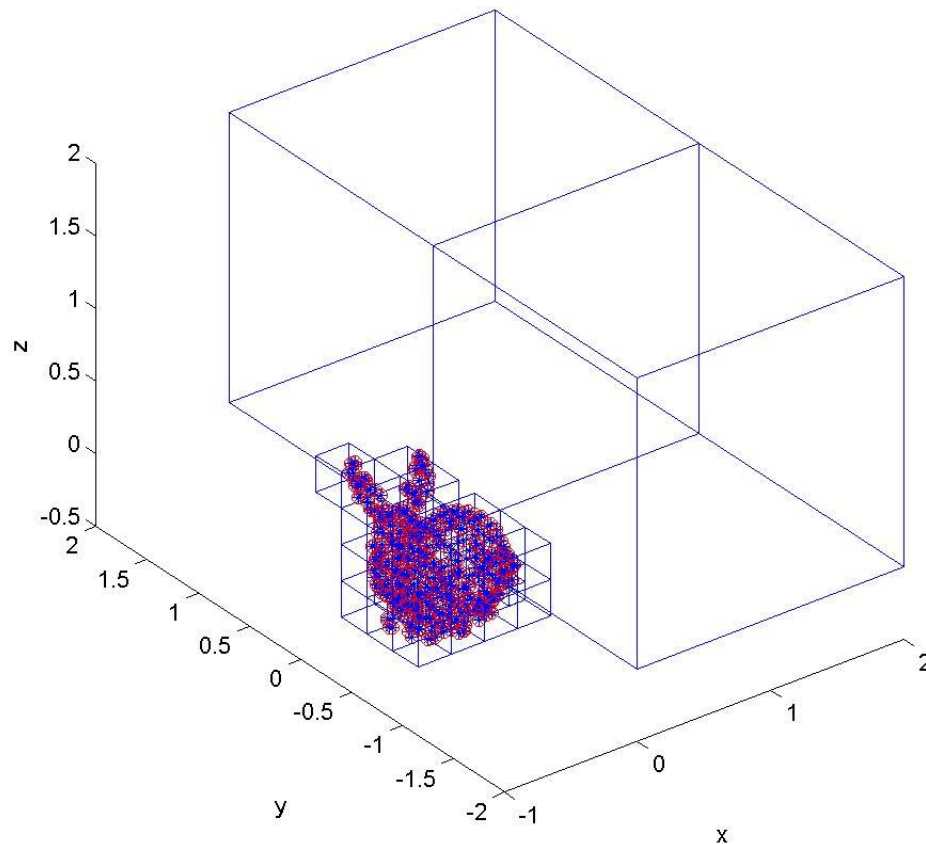


**Com função
polinomial**

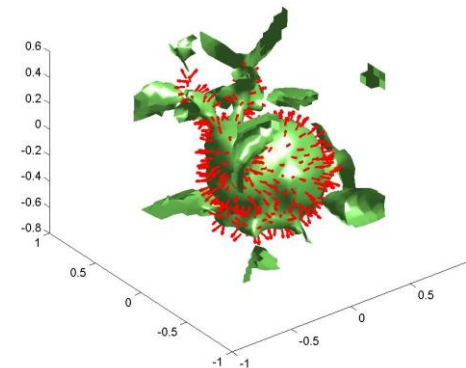


**Sem função
polinomial**

Divisão em caixa para gaussiana 20 pontos por caixa, $r = 0.1$



**Com função
polinomial**



**Sem função
polinomial**

Conclusão

- HRBF melhor que RBF em alguma caso mas sensibilidade ao r muito grande
- Wendland permite bom resultados mas a escolha do r é difícil
- Multiquadrática tem os melhor resultados e é robusto com o r
- Divisão em caixa com polinômio dá resultados com artefacts

Referencia

- Hermite Radial Basis Functions Implicits de I. Macêdo¹ , J. P. Gois² and L. Velho¹
- Notas de aula